

Для нерелятивистского диода  $\gamma - 1 \ll 1$  зависимость диодного тока от  $R$  найдена в [3]:

$$\frac{j_b}{j_{b0}} = 14,5s^{3/4}(1 - 0,8s^{1/8})^2.$$

Здесь  $s = R \left[ 1,17 \left( \frac{m}{M} \right)^{1/2} + 7,5 \frac{\delta W_1}{W} \right]$ ;  $j_{b0}$  — плотность диодного тока, определяемая по «закону 3/2». Для релятивистского диода решение может быть получено только с помощью численных расчетов по схеме, приведенной в п. 3. Зависимость  $j_b/j_{b0}$  от  $R$  при  $\gamma = 3$ ,  $\delta W_1/mc^2 = 4 \cdot 10^{-3}$  показана на рис. 4, где  $j_{b0}$  — плотность диодного тока, определяемая по аналогии с «законом 3/2» для релятивистского диода. Как видно из рис. 4, наличие неоднородного магнитного поля приводит к значительному увеличению плотности диодного тока.

Полученные в работе результаты находятся в согласии с экспериментальными результатами, приведенными в [5]. Разумеется, в реальных условиях не приходится иметь дело со строго «ступенчатой» формой напряжения, так что сравнение наших результатов с экспериментальными может носить только качественный характер. Другое возможное ограничение применимости приведенного рассмотрения состоит в том, что в настоящей работе не изучалась возможность снижения импеданса диода путем нейтрализации заряда электронов диодного промежутка зарядом ионов, эмиттирующих с внутренней стороны анодной фольги.

Автор благодарен Д. Д. Рютову за многочисленные обсуждения в ходе выполнения работы.

#### ЛИТЕРАТУРА

1. Рютов Д. Д., Ступаков Г. В. О влиянии ионного фона на накопление электронов в сильноточном диоде.— Физика плазмы, 1976, т. 2, № 5.
2. Ступаков Г. В. Автомодельное решение в теории газодинамического ускорения ионов.— Физика плазмы, 1980, т. 6, № 6.
3. Рютов Д. Д. Работы ИЯФ СО АН СССР по коллективному ускорению ионов в мощных электронных пучках.— В кн.: Совещание по проблемам коллективного метода ускорения. Дубна, 1982.
4. Рютов Д. Д., Сыретин Е. М. Теория «газодинамического» ускорения ионов облаком осциллирующих электронов. Препринт ИЯФ СО АН СССР 84—129.— Новосибирск, 1984.
5. Дейчули П. П., Федоров В. М. Ускорение ионов облаком осциллирующих электронов на установке Вода 1—10.— В кн.: IV Всесоюз. симп. по сильноточной электронике. Новосибирск, 1982, т. 2.

Поступила 14/II 1985 г.

УДК 629.735.33.015.3.025.1 : 533.6.12/13

#### ИНДУКТИВНОЕ СОПРОТИВЛЕНИЕ ИЗОГНУТОГО КРЫЛА

Г. И. Майканар  
(Жуковский)

В авиационной технике применяются крылья, образуемые раскрытием прилегающих к осесимметричному корпусу поверхностей; представляет интерес выбор углов расположения осей поворота крыльев  $\varphi$  и их раскрытия  $\theta$  (рис. 1), при которых индуктивное сопротивление минимально. Наибольший размах крыла получается при углах, близких к  $\varphi = \pi/3$ ,  $\theta = \pi/2$ , однако, кроме размаха, на индуктивное сопротивление влияет кривизна крыла. Достаточно обоснованного метода расчета подъемной силы и индуктивного сопротивления системы крыло — тело вращения нет; связано это с тем, что тело вращения не имеет острой задней кромки, фиксирующей заднюю критическую линию, как у крыла. Не известно, сходят ли с тела вращения свободные вихри. Если корневая хорда крыла велика

по сравнению с диаметром корпуса, то можно считать, что циркуляция скорости в корневом сечении крыла не обращается в нуль, т. е. влияние ее (разность давления на нижнюю и верхнюю стороны корпуса) распространяется на корпус.

Предположим, что среда несжимаемая, кормовая часть корпуса заостренная, его угол атаки  $\alpha = 0$ , обтекание безотрывное и в соответствии с линейной теорией [1, 2] свободные вихри располагаются по линиям тока течения около изолированного корпуса, а корпус в области расположения крыла имеет форму достаточно длинного цилиндра. Тогда скорость течения в этой области близка к скорости невозмущенного потока и расстояние линии тока от оси цилиндра  $r$  связано с этим расстоянием на бесконечности за корпусом  $r_\infty$  уравнением неразрывности

$$(1) \quad r^2 - R^2 = r_\infty^2$$

( $R$  — радиус цилиндра).

Уравнение (1) дает возможность найти форму поперечного сечения свободного вихревого слоя на бесконечности за системой крыло — корпус (в плоскости Трефта) по форме крыла; на рис. 1 штриховыми линиями показаны сечения свободных вихревых слоев для двух случаев, отличающихся углом  $\varphi$ . Подъемная сила и индуктивное сопротивление системы крыло — корпус полностью определяются по свободному вихревому слою в плоскости Трефта. Поэтому к системе приложима теорема Мунка, спрашивавшая для любых вихревых систем, в соответствии с которой при заданной подъемной силе индуктивное сопротивление системы минимальное, если распределение циркуляции такое, что слой свободных вихрей будет опускаться с постоянной скоростью  $\lambda V$  как твердое тело [3] ( $V$  — скорость невозмущенного потока). Для оценки влияния кривизны крыла на минимальное индуктивное сопротивление рассмотрим случай, когда форма поперечного сечения свободного вихревого слоя близка к форме дуги окружности, как на рис. 1.

Подъемная сила и индуктивное сопротивление [3]

$$Y = \rho V \int \Phi dx, \quad X = \frac{\rho}{2} \int \Phi \frac{\partial \Phi}{\partial n} ds = -\frac{\lambda}{2} Y.$$

Здесь  $\Phi$  — потенциал скорости;  $\partial \Phi / \partial n = -\lambda V \cos(n, y)$  — производная потенциала по направлению внутренней нормали к контуру свободного вихревого слоя (слой рассматривается как разрез);

$s$  — длина дуги контура слоя; интегралы берутся по контуру слоя в плоскости Трефта;  $\rho$  — плотность среды.

Дуга окружности (рис. 2) отображается на круг с помощью функции

$$z = \zeta + c^2/\zeta,$$

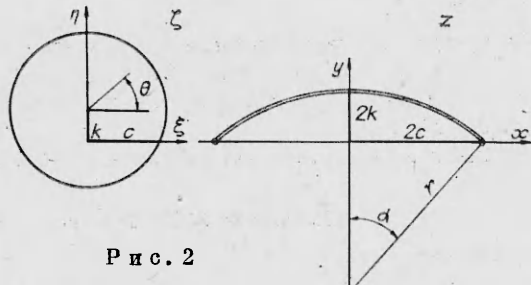


Рис. 2

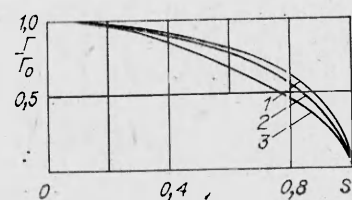


Рис. 3

координаты точки на дуге окружности

$$(2) \quad x = \frac{2(c^2 + k^2)(\sqrt{c^2 + k^2} + k \sin \theta) \cos \theta}{c^2 + 2k^2 + 2k \sqrt{c^2 + k^2} \sin \theta},$$

$$y = \frac{2k(k + \sqrt{c^2 + k^2} \sin \theta)^2}{c^2 + 2k^2 + 2k \sqrt{c^2 + k^2} \sin \theta},$$

радиус дуги  $r = k + c^2/k$ , угол  $\alpha = \arcsin [2ck/(c^2 + k^2)]$ . Потенциал скорости на круге

$$\Phi = -2\lambda V \sqrt{c^2 + k^2} \sin \theta.$$

Для вычисления подъемной силы перейдем к независимой переменной  $\theta$  и воспользуемся интегрированием по частям:

$$\int \Phi dx = \int_0^{2\pi} \Phi \frac{dx}{d\theta} d\theta = - \int_0^{2\pi} x \frac{d\Phi}{d\theta} d\theta = -4\lambda V (c^2 + k^2)^{3/2},$$

$$\int_0^{2\pi} \frac{(\sqrt{c^2 + k^2} + k \sin \theta) \cos^2 \theta d\theta}{c^2 + 2k^2 + 2k \sqrt{c^2 + k^2} \sin \theta} = -2\pi \lambda V (2c^2 + k^2),$$

следовательно,

$$Y = -2\rho \lambda V^2 \pi (2c^2 + k^2), \quad X = \frac{Y^2}{4\rho V^2 \pi (2c^2 + k^2)}.$$

Отношение индуктивного сопротивления изогнутого крыла к сопротивлению прямого крыла  $X_0$  при одинаковых подъемных силах и размахах (в плоскости Трефта) имеет вид

$$\frac{X}{X_0} = \frac{1}{1 + \frac{1}{2} \left( \frac{k}{c} \right)^2},$$

т. е. сопротивление изогнутого крыла меньше, чем сопротивление прямого крыла, и выбирать углы  $\varphi, \theta$  надо с учетом влияния как размаха, так и кривизны крыла.

Из второй формулы (2) вытекает

$$\sin \theta = -\frac{k}{\sqrt{c^2 + k^2}} \left( 1 - \frac{y}{2k} \right) \pm \sqrt{\frac{y}{2k} \left[ 1 - \frac{k^2}{c^2 + k^2} \left( 1 - \frac{y}{2k} \right) \right]},$$

а так как циркуляция скорости  $\Gamma$  равна разрыву потенциала, то

$$\Gamma = 4\lambda V \sqrt{c^2 + k^2} \sqrt{\frac{y}{2k} \left[ 1 - \frac{k^2}{c^2 + k^2} \left( 1 - \frac{y}{2k} \right) \right]},$$

конец изогнутого крыла нагружен меньше, чем конец прямого крыла (рис. 3, где 1—3 соответствуют  $k/c = 0; 0,5; 1$ ).

#### ЛИТЕРАТУРА

- Майкалар Г. И. Исследование по вихревой теории пропеллера.— Тр. Ленингр. Ин-та инженеров гражданского воздушного флота, 1940, вып. 21.
- Никольский А. А. О несущих свойствах и индуктивном сопротивлении системы крыло — фюзеляж.— ПММ, 1957, т. 21, вып. 2.
- Голубев В. В. Теория крыла аэроплана конечного размаха.— Тр. ЦАГИ, 1931, вып. 108.

Поступила 25/IV 1985 г.